УДК 541.49,541.64,544.02,546.05,546.46

НОВЫЙ БИОСОВМЕСТИМЫЙ МЕТАЛЛ-ОРГАНИЧЕСКИЙ КООРДИНАЦИОННЫЙ ПОЛИМЕР, ПОЛУЧЕННЫЙ МЕТОДАМИ "ЗЕЛЕНОЙ" ХИМИИ

© 2023 г. Е. А. Майорова¹, А. М. Пак^{1, 2}, Ю. В. Нелюбина^{2, 3}, В. В. Новиков^{1, 2, 3, *}

¹Московский физико-технический институт (национальный исследовательский университет), Москва, Россия ²Институт элементоорганических соединений им. А.Н. Несмеянова РАН, Москва, Россия ³Московский государственный технический университет им. Н.Э. Баумана, Москва, Россия

> *e-mail: novikov84@ineos.ac.ru Поступила в редакцию 16.05.2022 г. После доработки 26.07.2022 г. Принята к публикации 03.08.2022 г.

В сольвотермальных условиях синтезирован новый биосовместимый металл-органический координационный полимер $[Mg(Mal)(H_2O)](H_2O)$ ($H_2Mal =$ яблочная кислота) (I), выделенный в индивидуальном виде и охарактеризованный при помощи элементного анализа и рентгеновской дифракции. Для получения I- второго примера металл-органического координационного полимера магния на основе яблочной кислоты — применили жесткие условия сольвотермального синтеза. Обнаружен темплатный эффект цистеина или продуктов его разложения в выбранных жестких условиях на формирование металл-органических координационных полимеров яблочной кислоты.

Ключевые слова: биосовместимые материалы, металл-органические координационные полимеры, рентгеноструктурный анализ, сольвотермальный синтез

DOI: 10.31857/S0132344X23700202, EDN: CXFNPE

Металл-органические координационные полимеры (МОКП) [1] являются важным классом кристаллических материалов, состоящих из металлсодержащих узлов и органических линкеров [2]. Возможность управления [3] их периодической структурой [4], а следовательно, и физикохимическими свойствами, выбором отдельных компонентов вызывает [5-9] неутихающий интерес мировой общественности к данным материалам [10-14]. Например, МОКП активно используются для хранения [15] и разделения [16] газов, хранения энергии [17] и адресной доставки лекарств [18], а также в качестве катализаторов [19], сенсоров [20] и мембран [21-23]. К сожалению, склонность большинства известных МОКП к гидролизу в присутствии воды [24, 25] значительно ограничивает возможности их потенциального применения в водных условиях.

В последние годы особое внимание уделялось биосовместимым МОКП [26, 27], в которых в роли структурных элементов выступают нетоксичные ионы металлов и биомолекул, таких как аминокислоты [28], азотистые основания [29], олигосахариды [30] или природные органические кислоты [31]. В первую очередь такие материалы востребованы в биомедицине [32], где важны относительная устойчивость МОКП в водных усло-

виях [33] и отсутствие токсичности как самого МОКП, так и продуктов его разложения [34]. При этом отказ от традиционных синтетических линкеров, получаемых из продуктов нефтепереработки [35], в пользу биомолекул является серьезным шагом на пути снижения загрязнения окружающей среды. Кроме того, широкое структурное разнообразие богатых гетероатомами биомолекул [36], зачастую обладающих хиральностью, придает уникальные свойства МОКП на их основе [37—39].

Сольвотермальный синтез является одним из наиболее популярных способов получения новых МОКП [40] в виде монокристаллов хорошего качества, необходимого для установления их кристаллической структуры [41] при помощи РСА. Биомолекулы хорошо растворимы в "зеленых" растворителях, таких как вода или этанол [42], что при проведении в них синтеза упрощает пост-синтетическую обработку МОКП благодаря отсутствию необходимости удаления токсичных высокополярных органических растворителей (ДМФА, ДМАА), традиционно используемых в сольвотермальном методе синтеза МОКП [43].

В настоящей работе по такому "зеленому" протоколу получен новый металл-органический координационный полимер [Mg(Mal)(H_2O)](H_2O)

 $(H_2Mal =$ яблочная кислота) (I), полностью состоящий из биосовместимых компонентов: ионов магния (микроэлемента, необходимого для нормального функционирования мышечной и нервной системы, регуляции кровяного давления и поддержки иммунной системы) и анионов яблочной кислоты (важного промежуточного продукта обмена веществ в живых организмах). Данный металл-органический координационный полимер выделен в индивидуальном виде и охарактеризован при помощи элементного анализа и рентгеноструктурного анализа.

ЭКСПЕРИМЕНТАЛЬНАЯ ЧАСТЬ

Все операции выполняли на воздухе с использованием коммерчески доступных растворителей и реагентов. Анализ на углерод и водород проводили на микроанализаторе CarloErba, модель 1106.

Синтез [Mg(Mal)(H_2O)](H_2O) (I). Смесь DL-яблочной кислоты (0.0268 г, 0.2 ммоль), L-цисте-ина (0.0242 г, 0.2 ммоль) и тетрагидрата ацетата магния (0.0858 г, 0.4 ммоль) растворяли в смеси этилового спирта и дистиллированной воды (v/v = 1:1,1 мл), нагревали в запаянной стеклянной ампуле до 120°C со скоростью 200°C/ч и выдерживали при указанной температуре в течение 24 ч с последующим медленным охлаждением до комнатной температуры в течение 5 ч. Полученные бесцветные кристаллы отделяли от маточного раствора, промывали дистиллированной водой и этанолом, затем высушивали на воздухе. Выход продукта 0.026 г (62%).

Найдено, %: С 22.76; H 4.88. Для $C_4H_{10}O_8Mg$ вычислено, %: С 22.83; H 4.79.

РСА монокристалла I, извлеченного из запаянной стеклянной ампулы сразу же после ее охлаждения до комнатной температуры, проведен на дифрактометре Bruker Quest D8 (Мо K_{α} -излучение, графитовый монохроматор, ω-сканирование) при температуре 100 К. Структура расшифрована с использованием программы ShelXT [44] и уточнена в полноматричном МНК по F_{hkl}^2 с помощью программы Olex2 [45] в анизотропном приближении для неводородных атомов. Атомы водорода группы ОН и молекул воды локализованы из разностных Фурье-синтезов электронной плотности, положения остальных атомов водорода рассчитаны геометрически, и все они уточнены в изотропном приближении. Основные кристаллографические данные и параметры уточнения представлены в табл. 1.

Полный набор рентгеноструктурных данных для I депонирован в Кембриджском банке структурных данных (ССDС № 2172323; http://www.ccdc.cam.ac.uk/).

РЕЗУЛЬТАТЫ И ИХ ОБСУЖДЕНИЕ

Выдерживание ацетата магния(II) со смесью яблочной кислоты и цистеина в смеси этанолвода при 120°C в течение 24 ч с последующим медленным охлаждением до комнатной температуры сопровождалось образованием прозрачных монокристаллов, которые по результатам РСА оказались новым МОКП $[Mg(Mal)(H_2O)](H_2O)$ (I). В роли металлосодержащих узлов в I выступают ионы магния(II), в роли органических линкеров только анионы яблочной кислоты, депротонированной по двум карбоксильным группам. При этом каждый ион магния(II) связан с тремя такими дианионами и двумя молекулами воды (рис. 1). Третья молекула воды является сольватной. Соответствующий координационный полиэдр имеет форму октаэдра (табл. 2), в котором экваториальные позиции занимают атомы кислорода молекулы воды (Mg-O 2.0269(7) Å), одной гидроксильной (Mg-O 2.0954(7) Å) и двух карбоксильных (Mg-O 2.0455(7) и 2.0734(7) Å) групп, принадлежащих двум дианионам, а аксиальные атомы кислорода карбоксильной группы третьего дианиона (Mg-O 2.0163(8) Å) и второй молекулы воды (Mg-O 2.1252(7) Å). Это также подтверждают "меры симметрии" [46], характеризующие отклонение формы полиэдра от идеального октаэдра **S(OC-6)** (табл. 2). Чем эти значения меньше, тем лучше форма полиэдра описывается выбранным многогранником. В полученном нами МОКП I величина S(OC-6), оцененная на основе рентгенодифракционных данных при помощи программы Shape 2.1 [46], составляет 1.011, что указывает на близость формы полиэдра иона магния(II) к идеальному октаэдру. Для сравнения аналогичное значение относительно другого подходящего многогранника с шестью вершинами – идеальной тригональной призмы (ТР-6) - оказывается существенно выше (12.128).

Координационные связи Mg—O с дианионами яблочной кислоты приводят к образованию двумерного координационного слоя вдоль кристаллографической плоскости bc (рис. 2), дополнительно стабилизированного водородными связями между гидроксильной группой дианиона и координированной молекулой воды (О...О 2.7164(10) Å, OHO 170.27(5)°) и бифуркатной водородной связью, которую эта же молекула образует с карбоксильными группами двух дианионов (О...О 2.8767(10) и 2.9428(9) Å, OHO 137.61(5)° и 144.66(5)°). Аналогичную функцию выполняют водородные связи сольватной молекулы воды со второй координированной молекулой воды (О...О 2.6395(10) Å,

Таблица 1. Основные кристаллографические данные и параметры уточнения I

Параметр	Значение
Брутто-формула	$C_4H_{10}O_8Mg$
M	210.43
Сингония	Ромбическая
Пр. группа	Pbca
Z	8
a, Å	13.9730(2)
b, Å	8.1922(2)
c, Å	14.2476(3)
V, Å ³	1630.92(6)
ρ(выч.), г см ⁻³	1.714
μ, cм ⁻¹	2.34
F(000)	880
$2\theta_{ m max}$, град	61
Число измеренных отражений	22655
Число независимых отражений	2508
Число отражений с $I \ge 2\sigma(I)$	2357
Количество уточняемых параметров	118
R_1 (для отражений с $I \ge 2\sigma(I)$)	0.0262
wR_2 (для всех отражений)	0.0746
GOOF	1.095
Остаточная электронная плотность (min/max), е \mathring{A}^{-3}	-0.315/0.465

Таблица 2. Основные геометрические параметры I

Связь	d, Å
$M-O_{COO}$	2.0163(8)-2.0734(7)
$M-O_{OH}$	2.0954(7)
$M-O_{H2O}$	2.0269(7) и 2.1252(7)
Форма полиэдра	Отклонение от идеальной формы
S(OC-6)	1.011
S(TP-6)	12.128

 $^{^*}$ O_{COO} , O_{OH} , O_{H_2O} — атомы кислорода карбоксилатных и гидроксильной групп дианиона яблочной кислоты и молекул воды, S(OC-6) и S(TP-6) — отклонения формы полиэдра иона металла от идеального октаэдра (OC-6) и идеальной тригональной призмы (TP-6).

ОНО 172.51(5)°) и с карбоксильной группой дианиона (О...О 2.8555(10) Å, ОНО 176.59(5)°) в двумерном координационном слое. Оставшиеся водородные связи, которые каждая из трех молекул воды образует с карбоксильными группами дианионов (О...О 2.6606(9)-2.8927(10) Å, ОНО $160.9(1)^\circ-174.8(1)^\circ$), соединяют эти слои между собой в плотный трехмерный каркас (рис. 3) с максимальным объемом пор менее 4.19 ų, как следует из оценки рентгенодифракционных данных в программе OLEX2 [45].

Отметим, что двумерный МОКП I является вторым примером МОКП магния на основе яблочной кислоты после ранее описанного трехмерного МОКП состава $[Mg(Mal)(H_2O)_2](H_2O)$ [47], также синтезированного в сольвотермальных условиях, но в отсутствие цистеина в реакционной смеси. Последний использовался нами с целью получения гетеролигандного МОКП для включения в состав биосовместимых композитных пленок.

Причиной получения МОКП I вместо известного МОКП [Mg(Mal)(H_2O)₂](H_2O), по-видимо-

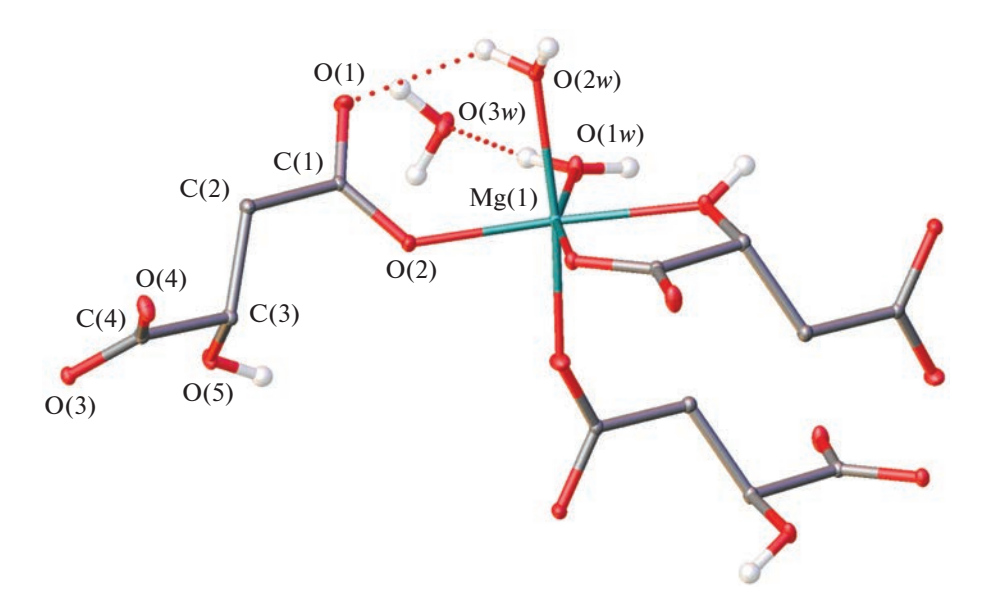


Рис. 1. Фрагмент кристаллической упаковки МОКП I, иллюстрирующий координационное окружение иона магния(II). Здесь и далее атомы водорода групп CH и CH $_2$ не показаны, остальные атомы представлены в виде эллипсоидов тепловых колебаний (p=30%), а нумерация приведена только для симметрически-независимых атомов. Штриховыми линиями изображены водородные связи.

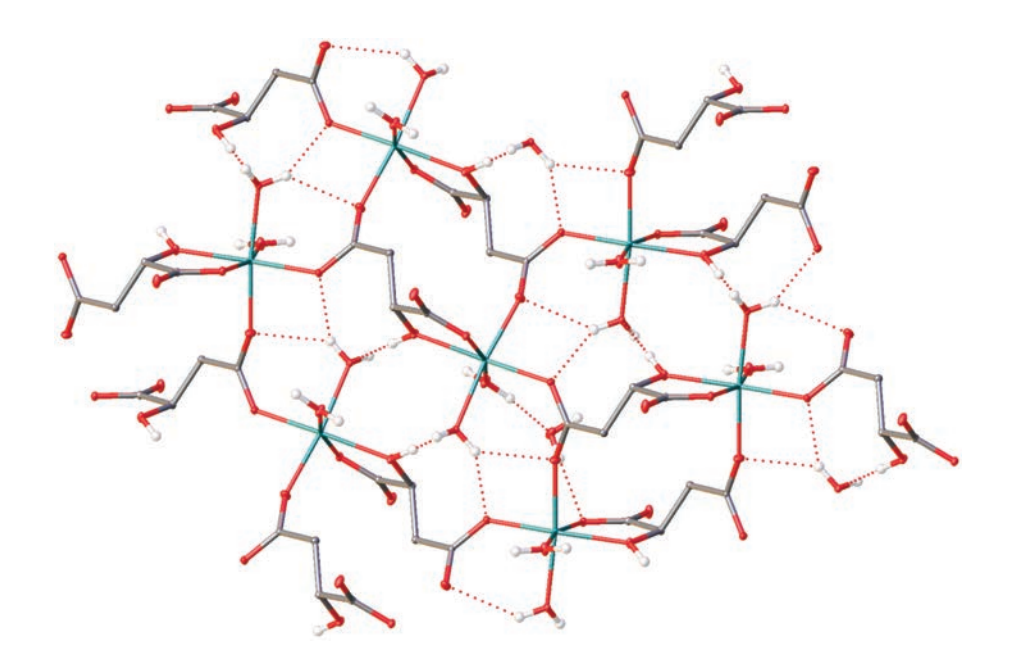


Рис. 2. Фрагмент кристаллической упаковки МОКП I, иллюстрирующий образование двумерного координационного слоя.

му, является темплатный эффект цистеина или серосодержащих продуктов его термического разложения в условиях сольвотермального синтеза (120°C, 24 ч). Действительно, проведение аналогичной реакции в отсутствие цистеина не привело к образованию МОКП I или другого кристаллического продукта.

Таким образом, в сольватермальных условиях с использованием "зеленых" растворителей (воды и этанола) и биосовместимых реагентов (ацетата магния, яблочной кислоты и цистеина) мы синтезировали ранее неизвестный МОКП [Mg(Mal)- (H_2O)] (H_2O) , который является вторым примером МОКП магния на основе яблочной кислоты.

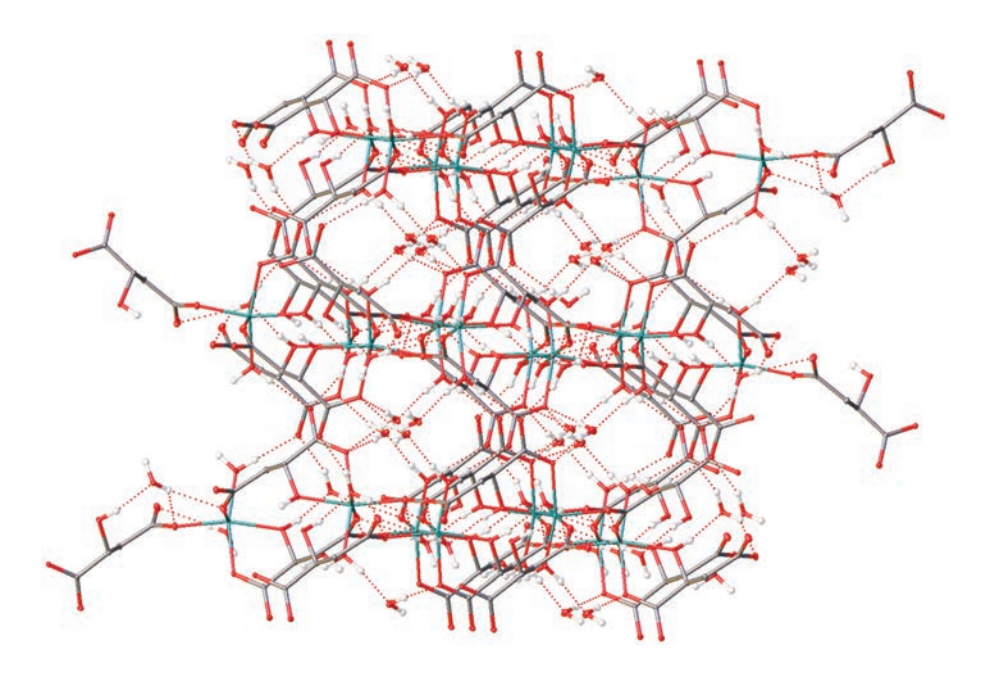


Рис. 3. Фрагмент кристаллической упаковки МОКП I, иллюстрирующий упаковку двумерных координационных слоев в кристалле.

Попытка получения данного МОКП в отсутствие цистеина выявила темплатный эффект данной аминокислоты или продуктов ее разложения в выбранных жестких условиях. Образование [Mg(Mal)- (H_2O)](H_2O) вместо целевого гетеролигандного МОКП с малонатными и цистеиновыми линкерами указывает на необходимость использования более мягких условий синтеза с сохранением его "зеленой" направленности, необходимой для создания новых биосовместимых МОКП для биомедицинских применений.

Авторы заявляют об отсутствии конфликта интересов.

БЛАГОДАРНОСТИ

Элементный анализ проводили с использованием оборудования Центра исследования строения молекул ИНЭОС РАН при поддержке Министерства науки и высшего образования Российской Федерации.

ФИНАНСИРОВАНИЕ

Работа выполнена при финансовой поддержке Российского научного фонда (грант № 20-73-10200).

СПИСОК ЛИТЕРАТУРЫ

- 1. *Yaghi O.M.*, *Li H.* // J. Am. Chem. Soc. 1995. V. 117. № 41. P. 10401.
- 2. *Yaghi O.M.*, *O'Keeffe M.*, *Ockwig N.W. et al.* // Nature. 2003. V. 423. № 6941. P. 705.
- 3. *Katayama Y., Kalaj M., Barcus K.S. et al.* // J. Am. Chem. Soc. 2019. V. 141. № 51. P. 20000.

- 4. *Zhou H.-C.*, *Long J.R.*, *Yaghi O.M.* // Chem. Rev. 2012. V. 112. № 2. P. 673.
- Munakata M., Kuroda-Sowa T., Maekawa M. et al. // Inorg. Chem. 1995. V. 34. № 10. P. 2705.
- 6. *Gardner G.B.*, *Venkataraman D.*, *Moore J.S. et al.* // Nature. 1995. V. 374. № 6525. P. 792.
- 7. Hoskins B.F., Robson R. // J. Am. Chem. Soc. 1990. V. 112. № 4. P. 1546.
- 8. Furukawa H., Ko N., Go Y.B. et al. // Science. 2010. V. 329. № 5990. P. 424.
- 9. Wang Z., Cohen S.M. // Chem. Soc. Rev. 2009. V. 38. № 5. P. 1315.
- 10. *Kim C.R., Uemura T., Kitagawa S.* // Chem. Soc. Rev. 2016. V. 45. № 14. P. 3828.
- 11. *Chen L., Zhang X., Cheng X. et al.* // Nanoscale Adv. RSC. 2020. V. 2. № 7. P. 2628.
- 12. Wang Q., Astruc D. // Chem. Rev. 2020. V. 120. № 2. P. 1438.
- Xing X.-S., Fu Z.-H., Zhang N.-N. et al. // Chem. Commun. 2019. V. 55. № 9. P. 1241.
- 14. *Mirkovic I., Lei L., Ljubic D. et al.* // ACS Omega. 2019. V. 4. № 1. P. 169.
- 15. *Li H.*, *Li L.*, *Lin R.-B. et al.* // EnergyChem. 2019. V. 1. № 1. P. 100006.
- 16. *Li H., Wang K., Sun Y. et al.* // Mater. Today. 2018. V. 21. № 2. P. 108.
- 17. *Baumann A.E., Burns D.A., Liu B. et al.* // Commun. Chem. 2019. V. 2. № 1. P. 1.
- 18. Sun Y., Zheng L., Yang Y. et al. // Nano-Micro Lett. 2020. V. 12. № 1. P. 103.
- 19. *Wei Y.-S., Zhang M., Zou R. et al.* // Chem. Rev. 2020. V. 120. № 21. P. 12089.
- 20. Kreno L.E., Leong K., Farha O.K. et al. // Chem. Rev. 2012. V. 112. № 2. P. 1105.

- 21. Jun B.-M., Al-Hamadani Y.A.J., Son A. et al. // Sep. Purif. Technol. 2020. V. 247. P. 116947.
- 22. *Qian Q., Asinger P.A., Lee M.J. et al.* // Chem. Rev. 2020. V. 120. № 16. P. 8161.
- 23. *Qiu S., Xue M., Zhu G.* // Chem. Soc. Rev. 2014. V. 43. № 16. P. 6116.
- 24. *Burtch N.C.*, *Jasuja H.*, *Walton K.S.* // Chem. Rev. 2014. V. 114. № 20. P. 10575.
- 25. *Ding M.*, *Jiang H.-L.* // CCS Chem. V. 3. № 8. P. 2740.
- 26. *McKinlay A.C.*, *Morris R.E.*, *Horcajada P. et al.* // Angew. Chem. Int. Ed. 2010. V. 49. № 36. P. 6260.
- Anderson S.L., Stylianou K.C. // Coord. Chem. Rev. 2017. V. 349. P. 102.
- Liu B., Jiang M., Zhu D. et al. // Chem. Eng. J. 2022.
 V. 428, P. 131118.
- 29. *Zhang M., Lu W., Li J.-R. et al.* // Inorg. Chem. Front. 2014. V. 1. № 2. P. 159.
- 30. *Smaldone R.A., Forgan R.S., Furukawa H. et al.* // Angew. Chem. Int. Ed. 2010. V. 49. № 46. P. 8630.
- 31. *Nurani D.A., Butar B.C.B., Krisnandi Y.K.* // IOP Conf. Ser. Mater. Sci. Eng. 2020. V. 902. № 1. P. 012055.
- 32. *Horcajada P., Gref R., Baati T. et al.* // Chem. Rev. 2012. V. 112. № 2. P. 1232.
- 33. Ahmadi M., Ayyoubzadeh S.M., Ghorbani-Bidkorbeh F. et al. // Heliyon. 2021. V. 7. № 4. P. e06914.
- 34. Al Sharabati M., Sabouni R., Husseini G.A. // Nanomaterials. 2022. V. 12. № 2. P. 277.

- 35. Lu W., Wei Z., Gu Z.-Y. et al. // Chem. Soc. Rev. 2014. V. 43. № 16. P. 5561.
- 36. *Davison E.K., Sperry J.* // J. Nat. Prod. 2017. V. 80. № 11. P. 3060.
- 37. *Burneo I.*, *Stylianou K.C.*, *Imaz I. et al.* // Chem. Commun. 2014. V. 50. № 89. P. 13829.
- 38. Stylianou K.C., Gómez L., Imaz I. et al. // Chem. Eur. J. 2015. V. 21. № 28. P. 9964.
- 39. *Dybtsev D.N.*, *Nuzhdin A.L.*, *Chun H. et al.* // Angew. Chem. 2006. V. 118. № 6. P. 930.
- 40. *Stock N., Biswas S.* // Chem. Rev. 2012. V. 112. № 2. P. 933.
- 41. Zavyalova A.G., Kladko D.V., Chernyshov I.Y. et al. // J. Mater. Chem. A. 2021. V. 9. № 45. P. 25258.
- 42. *Bowden N.A., Sanders J.P.M., Bruins M.E.* // J. Chem. Eng. Data. 2018, V. 63. № 3. P. 488.
- 43. Kim T.H., Kim S.G. // Saf. Health Work. 2011. V. 2. N_{2} 2. P. 97.
- 44. *Sheldrick G.M.* // Acta Crystallogr. A. 2015. V. 71. Pt. 1. P. 3.
- 45. *Dolomanov O.V., Bourhis L.J., Gildea R.J. et al.* // J. Appl. Crystallogr. 2009. V. 42. № 2. P. 339.
- 46. Alvarez S. // Chem. Rev. 2015. V. 11. № 24. P. 13447.
- 47. *Zhang J., Chen S., Zingiryan A. et al.* // J. Am. Chem. Soc. 2008. V. 130. № 51. P. 17246.